

# V-5 小 $a/d$ における RC 梁のせん断強さに関する実験的研究

広島工業大学 正員 河内 清彦  
" ○伊藤秀敏

## 1. まえがき

鉄筋コンクリート構造物において、ブレケット、コーベル、片持梁等は、しばしばせん断スパン-有効長比 ( $a/d$ ) が 1 より小さい場合がある。本実験はこのような構造物を想定し、鉄筋コンクリート梁のせん断強さに影響を及ぼす多種因子の内  $a/d$ 、コンクリート強度 ( $\delta_c$ )、および主鉄筋比 ( $P_w$ ) を数種に変化させ、これらが鉄筋コンクリート梁のせん断強さに及ぼす影響を実験的に調べた。

## 2. 供試体および実験方法

供試体は図-1(1)に示すように桁高 20cm、桁幅 10cm の矩形断面で、全長 100cm、有効スパン 60cm の単純桁である。コンクリートの目標強度は 200kg/cm<sup>2</sup>、300kg/cm<sup>2</sup> および 400kg/cm<sup>2</sup> の 3 種で、主鉄筋 (SD-30) は 2φ9mm および 2φ16mm である。この場合の主鉄筋比 ( $P_w$ ) はそれぞれ 0.71%、および 2.23% で、有効高さ ( $d$ ) は 18cm とした。 $a/d$  は 0.2, 0.4, 0.6, 0.8, 1.0 の 5 種である。主鉄筋のビズミを測定するため、載荷点と支点とを結ぶ線上にあら鉄筋と、梁中央部の鉄筋にそれぞれ 1 枚ゲージ (KFC 5-CI-11) を貼り付けた。また図-2 は曲げスパンを鉄筋 (SD-30, 2φ16mm) で補強した供試体を示す。

載荷方法は全て 2 点対称荷重で行ない、各荷重段階ごとに各材料のひずみおよび梁のたわみを測定し、クラックの進展を観察した。

## 3. 実験結果

図-2(2) は  $P_w = 2.23\%$  および、0.71% におけるせん断強さ ( $T_u$ ) とコンクリート強度 ( $\delta_c$ ) との関係を示したものである。 $a/d$  の相違に拘らず、コンクリート強度の増加に伴ないせん断強さが増加しているのが認められる。コンクリート強度が大なると曲げおよびせん断強さに拘らず、コンクリートの弾性域、また、ひびわれ発生後 ( $0.4 \leq a/d \leq 1.0$ ) においてもひびわれ進展が拘束され、せん断強さの増加に貢献するものと思われる。このことは梁中央部のたわみの量が小さくなることからも認められる。また  $\delta_c$  の増分は  $0 \leq a/d \leq 0.4$  の範囲において、 $\delta_c = 200 \text{ kg/cm}^2$  の増加に対し  $P_w = 2.23\%$  および 0.71% の場合、それぞれ 10 ~ 20% および 20 ~ 30% 程度であった。一方  $a/d$  が 0.8 程度になると主鉄筋比の相違に拘らず大約 10% 程度の増加が認められた。したがって、 $a/d$  が 0.6 程度以上になると  $a/d$  が 0.4 程度のコンクリート強度の増加に伴なうせん断強さの増加は期待出来ない。

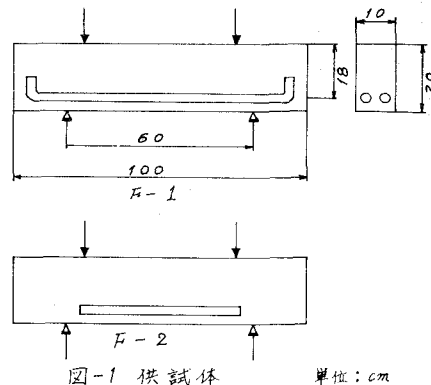


図-1 供試体 単位: cm

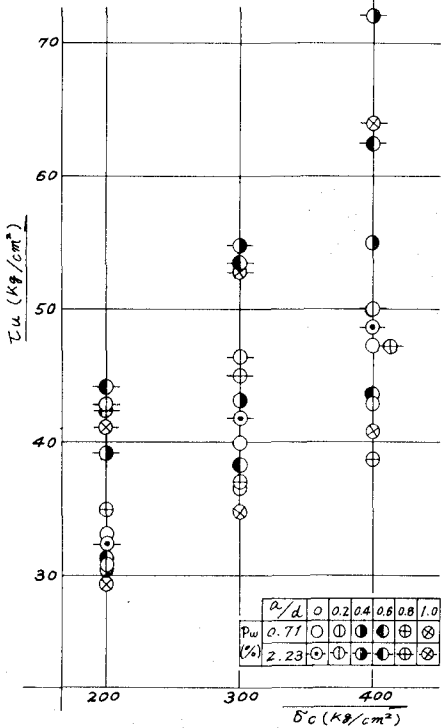


図-2  $T_u$  と  $\delta_c$  との関係

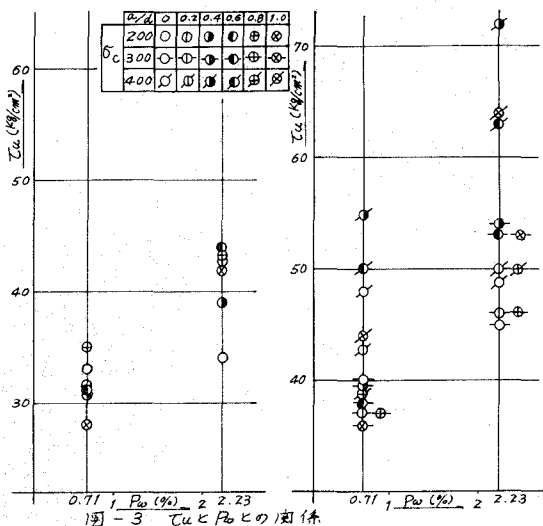


図-3  $T_u$  と  $P_w$  の関係

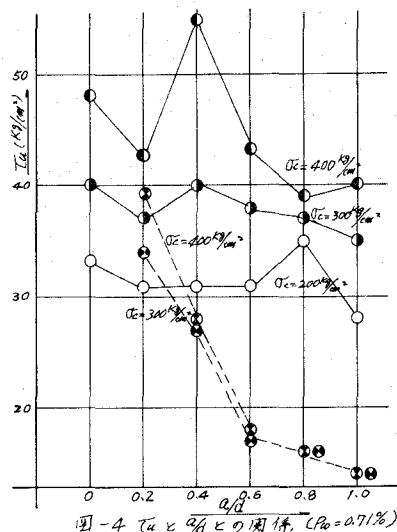


図-4  $T_u$  と  $\%a$  の関係 ( $P_w = 0.71\%$ )

図-(3)は  $f_c = 200 \text{ kg/cm}^2$ ,  $300 \text{ kg/cm}^2$  および  $400 \text{ kg/cm}^2$  におけるせん断強さ ( $T_u$ ) と主鉄筋比 ( $P_w$ ) との関係を示したものである。この図によると  $P_w$  の増加に伴なう  $T_u$  の増加は  $0 \leq a/d \leq 0.2$  の範囲において小であるが、 $0.4 \leq a/d \leq 1.0$  の範囲においては大なる傾向がある。これは  $a/d$  が  $0.6$  程度以上になると曲げスパン内に数本のクラックが認められ、また斜めひびわれが横切る場所の主鉄筋もほとんどの降伏域に達している。すなわち、 $a/d$  が  $0.6$  程度になると、斜めひびわれ発生後、主鉄筋がせん断強さに大きく貢献し、この増加につながったものと思われる。

図-(4), (5)はそれぞれ  $P_w = 2.23\%$  および  $0.71\%$  の場合における  $T_u$  と  $a/d$  との関係を示したものである。これらの図によると  $f_c = 200 \text{ kg/cm}^2$  を除いて、 $T_u$  は  $a/d$  が  $0.4$  の時、最大値を示し、以後  $a/d$  が増すとやや遮減する傾向が認められる。 $a/d = 0$  および  $0.2$  までは、割裂破壊で、 $a/d \geq 0.4$  ではせん断引張破壊に変わってくる。また、 $0 \leq a/d \leq 0.4$  の範囲では曲げスパン内にひびわれは発生せず載荷点と支点とを結ぶ直線上に斜めひびわれが生じ、破壊に至る。 $a/d = 0.8$  程度になると曲げスパン内のひびわれも数本認められ  $a/d = 1.0$  で、 $P_w = 0.71\%$  の場合の梁は、コンクリート強度の相違に拘らず、曲げひびわれが梁の圧縮線付近まで進展しているのが認められた。また曲げスパンのみを水平鉄筋で補強した梁(F-2)と全スパンを水平鉄筋で補強した梁において、各々の  $a/d$  に対する  $T_u$  の差異は主鉄筋の受け持つせん断強さと思われる。

#### 4. あとがき

本実験結果を簡単に報告したが、今後RC梁における小  $a/d$  の実験を系統的に行ない、Desayi 等によって提案された理論式と比較しながら検討したいと思う。なお本実験に当り尽力された本学土木工学科卒業生、斎藤美、正木克則、両君に対し深く感謝する次第である。

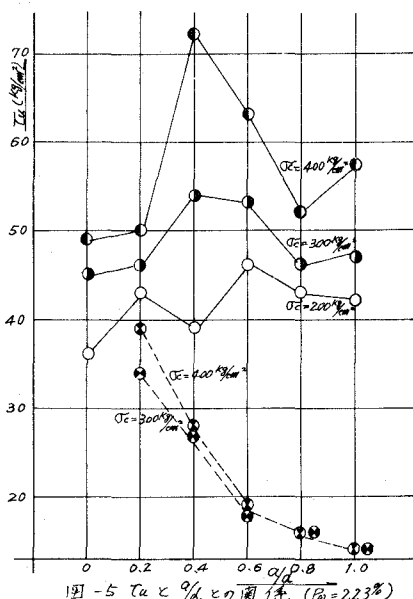


図-5  $T_u$  と  $\%a$  の関係 ( $P_w = 2.23\%$ )